



ΥΠΟΥΡΓΕΙΟ ΑΝΑΠΤΥΞΗΣ ΚΑΙ ΕΠΕΝΔΥΣΕΩΝ

ΓΕΝΙΚΗ ΓΡΑΜΜΑΤΕΙΑ ΕΡΕΥΝΑΣ ΚΑΙ ΤΕΧΝΟΛΟΓΙΑΣ

ΕΛΛΗΝΙΚΟ ΚΕΝΤΡΟ ΘΑΛΑΣΣΙΩΝ ΕΡΕΥΝΩΝ

46,7 ΧΛΜ ΛΕΩΦ. ΑΘΗΝΩΝ-ΣΟΥΝΙΟΥ, Τ.Θ. 712, Τ.Κ. 19013, ΑΝΑΒΥΣΣΟΣ

## ΤΕΧΝΙΚΗ ΕΚΘΕΣΗ

**Περιβαλλοντική παρακολούθηση του όρου 4.3.4.8 της ΚΥΑ  
18744/2020 για την «Χωροθέτηση και έγκριση περιβαλλοντικών  
όρων Μαρίνας Βουλιαγμένης» (ΦΕΚ 810/Δ/16.12.2020)**

**Αποτελέσματα έρευνας της 22<sup>ας</sup> Ιουλίου 2021**

**Ιούλιος 2021**

**Ανάβυσσος**



## Εισαγωγικές πληροφορίες

### Το έργο

Οι εργασίες βυθοκόρησης του έργου «Επέκταση Μαρίνας Βουλιαγμένης» εκτελούνται σύμφωνα με την ΚΥΑ 18744/2020 για την «Χωροθέτηση και έγκριση περιβαλλοντικών όρων Μαρίνας Βουλιαγμένης» (ΦΕΚ 810/Δ/16.12.2020), αφού έχει προηγηθεί έγκριση της σχετικής Ειδικής Τεχνικής Περιβαλλοντικής Μελέτης για την «Αξιολόγηση ποιότητας βυθοκορημάτων της Μαρίνας Βουλιαγμένης και επιλογή του βέλτιστου θαλάσσιου χώρου επανατοποθέτησης αυτών στον ΝΑ Σαρωνικό Κόλπο» (ΤΕΠΕΜ-ΔΒ-2021).

Το έργο αφορά στην εκσκαφή από τον πυθμένα της λιμενολεκάνης και του περιβάλλοντα χώρου εντός της θαλάσσιας ζώνης (συνολικής έκτασης 54 στρεμμάτων) αδρανούς γαιώδους υλικού, όγκου περίπου 95.000 m<sup>3</sup>, πλήρως απαλλαγμένου από χημικούς οργανικούς (υδρογονάνθρακες και οργανοχλωριωμένες ενώσεις) και ανόργανους (βαρέα μέταλλα) ρύπους. Η γεωτεχνική μελέτη του έργου, η οποία βασίστηκε στην ανάλυση οκτώ γεωτρήσεων, διαπίστωσε την ύπαρξη επιφανειακής στρώσης θαλάσσιων ιζημάτων αμμο-ιλύδους έως αργιλο-αμμώδους σύστασης και μεταβαλλόμενου πάχους (από ελάχιστα εκατοστά μέχρι 1,5 μ). Το υποκείμενο των θαλάσσιων αποθέσεων βραχώδες γεωλογικό υπόβαθρο, το οποίο σε κάποια τμήματα του πυθμένα της μαρίνας αλλά και του παρακείμενου θαλάσσιου χώρου αναδύεται στην επιφάνεια, αποτελείται από νεογενείς μάργες, κροκαλοπαγή-λατυποπαγή και ασβεστόλιθους λατυποπαγούς δομής ή ασβεστολιθικά λατυποπαγή.

Λόγω της αναμενόμενης διάχυσης αιωρημένου υλικού που παράγεται κατά τη διάρκεια των εργασιών βυθοκόρησης και θραύσης του βραχώδους υποστρώματος, απαιτείται περιβαλλοντική παρακολούθηση της θολερότητας, όπως αναφέρεται στον όρο 4.3.4.8.2, «*επιτόπια εξέταση και συλλογή δειγμάτων για τον προσδιορισμό της θολερότητας του θαλασσινού νερού (σε Nephelometric Turbidity Units-NTUs), τουλάχιστον μία φορά την εβδομάδα, εφόσον οι εργασίες διεξάγονται κατά τη διάρκεια της τουριστικής περιόδου. Η εξέταση θα γίνεται σε σημεία που βρίσκονται σε απόσταση 50, 100 και 150 m από το έργο. Εάν διαπιστωθεί σημαντική αύξηση της θολερότητας θα εφαρμόζονται αμέσως επιπρόσθετα μέτρα συγκράτησης των στερεών αιωρήσεων*». Με την από 07/04/2021 Σύμβαση Ανάθεσης Έργου μεταξύ της ΤΕΚΑΛ Α.Ε. και του ΕΛΚΕΘΕ, επιστημονική ομάδα του Ινστιτούτου Ωκεανογραφίας διενέργησε την 15/07/2021 ωκεανογραφική έρευνα για τη μέτρηση της θολερότητας στην υδάτινη στήλη τόσο εντός της μαρίνας όσο και περιμετρικά αυτής, ώστε να αποφευχθεί η διάχυση του παραγόμενου από τις εργασίες εκβάθυνσης πλουμίου εκτός της περιοχής του έργου.

### Η παράμετρος της θολερότητας

Με τον όρο θολερότητα (ή θολότητα, turbidity) εννοείται η απουσία διαύγειας σε ένα υγρό μέσο, η οποία προκαλείται από την παρουσία μέσα σε αυτό διαφόρων οργανικών και ανόργανων σωματιδίων υπό μορφή αιωρούμενου ή/και κολλοειδούς υλικού (1-1000 νανόμετρα). Η θολερότητα είναι ένα θεμελιώδες οπτικό χαρακτηριστικό του υγρού μέσου το οποίο σχετίζεται με την εξασθένηση της έντασης της διερχόμενης φωτεινής ακτινοβολίας λόγω φαινομένων σκέδασης στα σωματίδια της υδάτινης στήλης.

Η μέτρηση της θολερότητας γίνεται με ένα αισθητήρα που ονομάζεται νεφελόμετρο. Η αρχή της μέτρησης βασίζεται στη σύγκριση της έντασης του φωτός που υφίσταται σκέδαση υπό γωνία 90° με την

προσπίπτουσα φωτεινή δέσμη στο σωματιδιακό υλικό της υδάτινης στήλης με εκείνη την ένταση του φωτός που υφίσταται σκέδαση κατά τη διέλευσή του από ένα πρότυπο αιώρημα κάτω από τις ίδιες φυσικές συνθήκες. Σύμφωνα με τον νόμο του Rayleigh ισχύει η παρακάτω σχέση μεταξύ της έντασης του σκεδαζόμενου φωτός και της συγκέντρωσης των σωματιδίων στο υδάτινο μέσο:

$$I_1 = k \frac{V^2}{\lambda^2} n$$

όπου:

$I_1$  είναι η ένταση του σκεδαζόμενου φωτός,

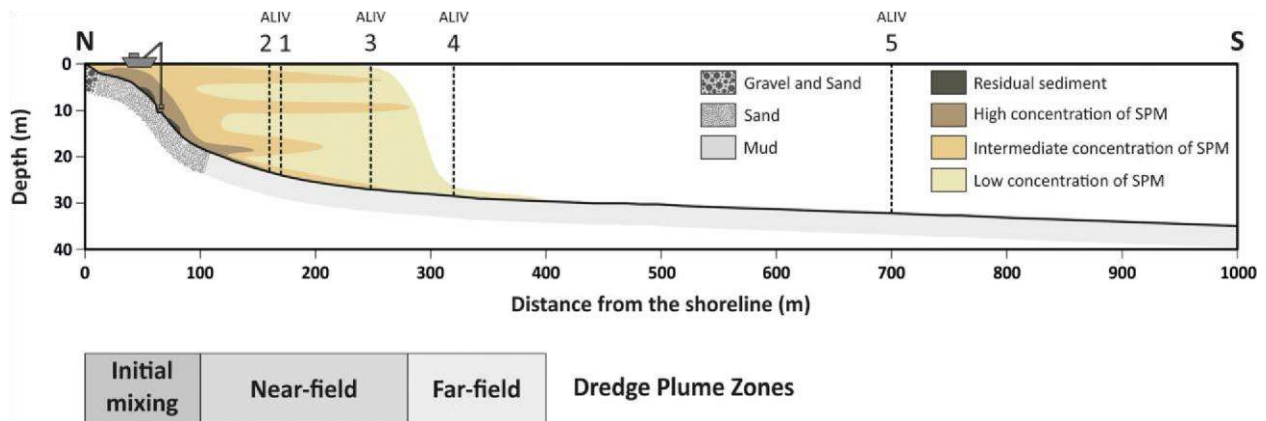
$V$  είναι ο όγκος κάθε σωματιδίου του υδάτινου μέσου (εάν θεωρηθεί ότι όλα τα σωματίδια έχουν τον ίδιο όγκο),  $\lambda$  είναι το μήκος κύματος του φωτός,  $n$  είναι ο αριθμός των σωματιδίων στην μονάδα όγκου του υδάτινου μέσου και, τέλος,  $k$  είναι μία φυσική σταθερά.

Οι μονάδες μέτρησης θολερότητας που έχουν καθιερωθεί από τον Διεθνή Οργανισμό Τυποποίησης (ISO) καθώς και από την Environmental Protection Agency (EPA) είναι η Formazine Turbidity Unit (FTU) και η Nephelometric Turbidity Unit (NTU), αντίστοιχα, με την σχέση τους να είναι 1:1.

### **Θολερότητα προερχόμενη από βυθοκόρηση**

Κατά τη διάρκεια των εργασιών βυθοκόρησης, σωματίδια ιζημάτων απομακρύνονται από τον πυθμένα και εισέρχονται στην υδάτινη στήλη. Η ποσότητα, η υφή και η ποιότητα των επαναιωρημένων σωματιδίων εξαρτώνται από διάφορους παράγοντες (Luger et al. 1998) που σχετίζονται με: (α) τα χαρακτηριστικά του ιζήματος (μέγεθος κόκκου, πυκνότητα, ορυκτολογία, ικανότητα πρόσφυσης και περιεχόμενο σε οργανική ύλη), (β) τις συνθήκες του χώρου εκσκαφής (βάθος νερού, εκτεθειμένη επιφάνεια, ρεύματα και κύματα που επικρατούν, παρουσία φυσικών ή τεχνητών εμποδίων) και (γ) τις επιχειρησιακές πρακτικές (ρυθμός παραγωγής, πάχος εκσκαφής υλικών, τύπος εξοπλισμού βυθοκόρησης, μέθοδος λειτουργίας και ικανότητα του χειριστή).

Όταν το επαναιωρημένο σωματιδιακό υλικό παραμένει για μεγάλο χρονικό διάστημα σε αιώρηση, παρασύρεται από τα θαλάσσια ρεύματα και μεταφέρεται με μορφή πλουμίου σε περιοχές μακριά από τη θέση βυθοκόρησης. Ανάλογα με τα χαρακτηριστικά του προκύπτοντος νεφελώματος διακρίνονται συνήθως τρεις ζώνες (Εικόνα 1): (α) της «αρχικής ανάμιξης», όπου η δραστηριότητα βυθοκόρησης κυριαρχεί έναντι των φυσικών διεργασιών, (β) του «κοντινού πεδίου», όπου επικρατεί διασπορά και ταχεία καθίζηση αιωρούμενων στερεών, και (γ) του «μακρινού πεδίου», όπου η συγκέντρωση του επαναιωρημένου σωματιδιακού υλικού στην υδάτινη στήλη μειώνεται σταδιακά και τα φαινόμενα της μεταγωγής και καθίζησης ισορροπούν. Ένα άλλο υποπροϊόν των εργασιών βυθοκόρησης είναι το παραμένον (αδιατάρακτο ή αναμοχλευθέν) ίζημα που εμφανίζεται είτε εντός είτε δίπλα στη ζώνη βυθοκόρησης.



**Εικόνα 1:** Ζώνες διάχυσης του νέφους των επαναιωρημένων στερεών υλικών που προέκυψε από εντατική βυθοκόρηση στη περιοχή του Αλιβερίου, Νότιος Ευβοϊκός Κόλπος (Kanelloroulos et al. 2020).

Το παρόν πρόγραμμα παρακολούθησης της θολερότητας στην Μαρίνα Βουλιαγμένης ακολουθεί την μεθοδολογία και τις κατευθύνσεις που παρουσιάζονται στα τεχνικά εγχειρίδια των van Rijn (2019) και Bundgaard (2020).

## Όρια θολερότητας

Σύμφωνα με τον Παγκόσμιο Οργανισμό Υγείας, το πόσιμο νερό (για κατανάλωση από τον άνθρωπο) θα πρέπει να έχει επίπεδα θολερότητας κάτω από 1 NTU/FTU, αν και για ορισμένες περιοχές, επιτρέπεται έως και 5 NTU/FTU.

Δεν υπάρχουν εθνικά και ευρωπαϊκά θεσμοθετημένα όρια θολερότητας για το θαλασσινό νερό, ωστόσο, στις ΗΠΑ επικρατεί η άποψη ότι τιμές μεγαλύτερες των 25 με 50 NTU/FTU είναι «μη ανεκτές» από πολλούς ευαίσθητους οργανισμούς όπως χέλια, χελώνες, Μαρέκα (Wigeons) και λειμώνες θαλάσσιας βλάστησης, και για αυτό θα πρέπει να αποφεύγονται. Αντίθετα, τιμές μικρότερες των 25 ή 50 NTU είναι «ανεκτές» από τους οργανισμούς και δεν προκαλούν ανεπανόρθωτες βλάβες (βλέπε Πίνακα 1, σελίδα 135 της δημοσίευσης των Clarke and Wilber 2008).

Επίσης, στην Αυστραλία έχει υιοθετηθεί η εξής διαβάθμιση (McCaffrey and Catchment 2018): όταν η θολερότητα είναι >10 NTU η κατάσταση των υδάτων θεωρείται ως «εξαιρετική», όταν κυμαίνεται από 15 έως 30 NTU θεωρείται ως «ικανοποιητική» και όταν είναι >30 NTU θεωρείται ως «φτωχή».

Με δεδομένο ότι στο Όρμο Βουλιαγμένης το πιο ευαίσθητο θαλάσσιο οικοσύστημα στη αύξηση της θολερότητας είναι ο λειμώνας Ποσειδωνίας (δες παραδείγματα στις εργασίες των Ruiz and Romero 2003, Capello et al. 2014, Hounghandan et al. 2020, Li et al., 2021) και σε συνδυασμό με τα προαναφερθέντα όρια, υιοθετείται οι παρακάτω κατηγορίες για τις ζώνες «κοντινού» και «μακρινού» πεδίου κατά τη διάρκεια της ενεργού βυθοκόρησης:

Θολερότητα	FTU
Εξαιρετική	≤1
Φυσιολογική	1-5
Ικανοποιητική	5-15
Ανεκτή	15-30
Μη ανεκτή	>30

## Εξοπλισμός και εργασίες πεδίου

Η συλλογή των μετρήσεων θολερότητας έγινε με τη χρήση του νεφελόμετρου 'Seapoint Turbidity Meter' (εύρος μετρήσεων 0-1250 FTU, απόκλιση  $\pm 2\%$ ) προσαρμοσμένο σε αυτογραφικό όργανο CTD (conductivity, temperature, density) (Εικόνα 2). Την 22<sup>α</sup> Ιουλίου 2021 πραγματοποιήθηκαν κάθετες καταγραφές στην υδάτινη στήλη (από το βάθος του  $\sim 1$  m μέχρι τον πυθμένα) σε 12 θέσεις, ευρισκόμενες εντός αλλά και περιμετρικά της Μαρίνας Βουλιαγμένης (Εικόνα 3). Η επιλογή των θέσεων πόντισης του αυτογραφικού οργάνου CTD πραγματοποιήθηκε με βάση τις απαιτήσεις του περιβαλλοντικού όρου 4.3.4.8 της ΚΥΑ 18744/2020 για την «Χωροθέτηση και έγκριση περιβαλλοντικών όρων Μαρίνας Βουλιαγμένης» (ΦΕΚ 810/Δ/16.12.2020) και σε σχέση με τις τρεις περιοχές των εκσκαφών (Εικόνα 4).



**Εικόνα 2:** Εργασίες πεδίου με νεφελόμετρο προσαρμοσμένο σε αυτογραφικό σύστημα CTD, το οποίο χρησιμοποιήθηκε για τη συλλογή μετρήσεων στην περιοχή του έργου της Μαρίνας Βουλιαγμένης.





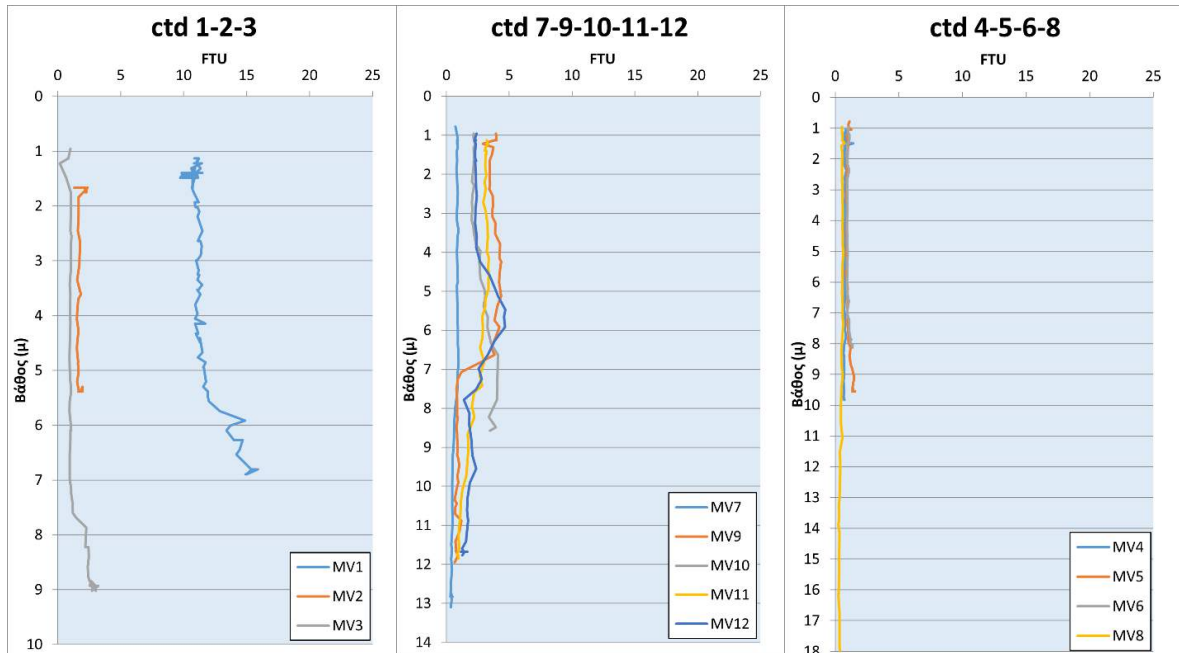
**Εικόνα 3:** Θέσεις μέτρησης της θολερότητας στην περιοχή του έργου της Μαρίνας Βουλιαγμένης κατά τη διάρκεια της 22<sup>ας</sup> Ιουλίου 2021. Η άσπρη, η κόκκινη και η πράσινη γραμμή αντιπροσωπεύουν τις γεωγραφικές θέσεις των τομών των Εικόνων 8α, 8β και 8γ, αντίστοιχα. Με κίτρινη γραμμή αποτυπώνονται οι θέσεις πόντισης των κουρτινών ιλύος.



**Εικόνα 4:** Ενεργές εκκαφές/βυθοκορήσεις στην περιοχή των έργου της Μαρίνας Βουλιαγμένης κατά τη διάρκεια της 22<sup>ας</sup> Ιουλίου 2021.

## Αποτελέσματα

Οι καταγεγραμμένες κατακόρυφες μετρήσεις της θολερότητας σε όλες τις θέσεις πόντισης του αυτογραφικού οργάνου CTD φαίνονται στην Εικόνα 5, ενώ οι αναλυτικές τιμές των μετρήσεων παρουσιάζονται στο παράρτημα της παρούσας Τεχνικής Έκθεσης. Οι θέσεις δειγματοληψίας 1-2-3 είναι εντός και πλησίον της λιμενολεκάνης, οι θέσεις 7-9-10-11-12 περιμετρικά της μαρίνας, σε περιοχές που δεν επηρεάζονται από τις κουρτίνες ιλύος, ενώ οι θέσεις 4-5-6-8 είναι εξωτερικά από τις κουρτίνες ιλύος.



**Εικόνα 5:** Κατακόρυφες καταγραφές της θολερότητας (σε FTU) στην περιοχή του έργου της Μαρίνας Βουλιαγμένης κατά τη διάρκεια της 22<sup>ας</sup> Ιουλίου 2021. Για τις θέσεις των μετρήσεων βλέπε την Εικόνα 3.

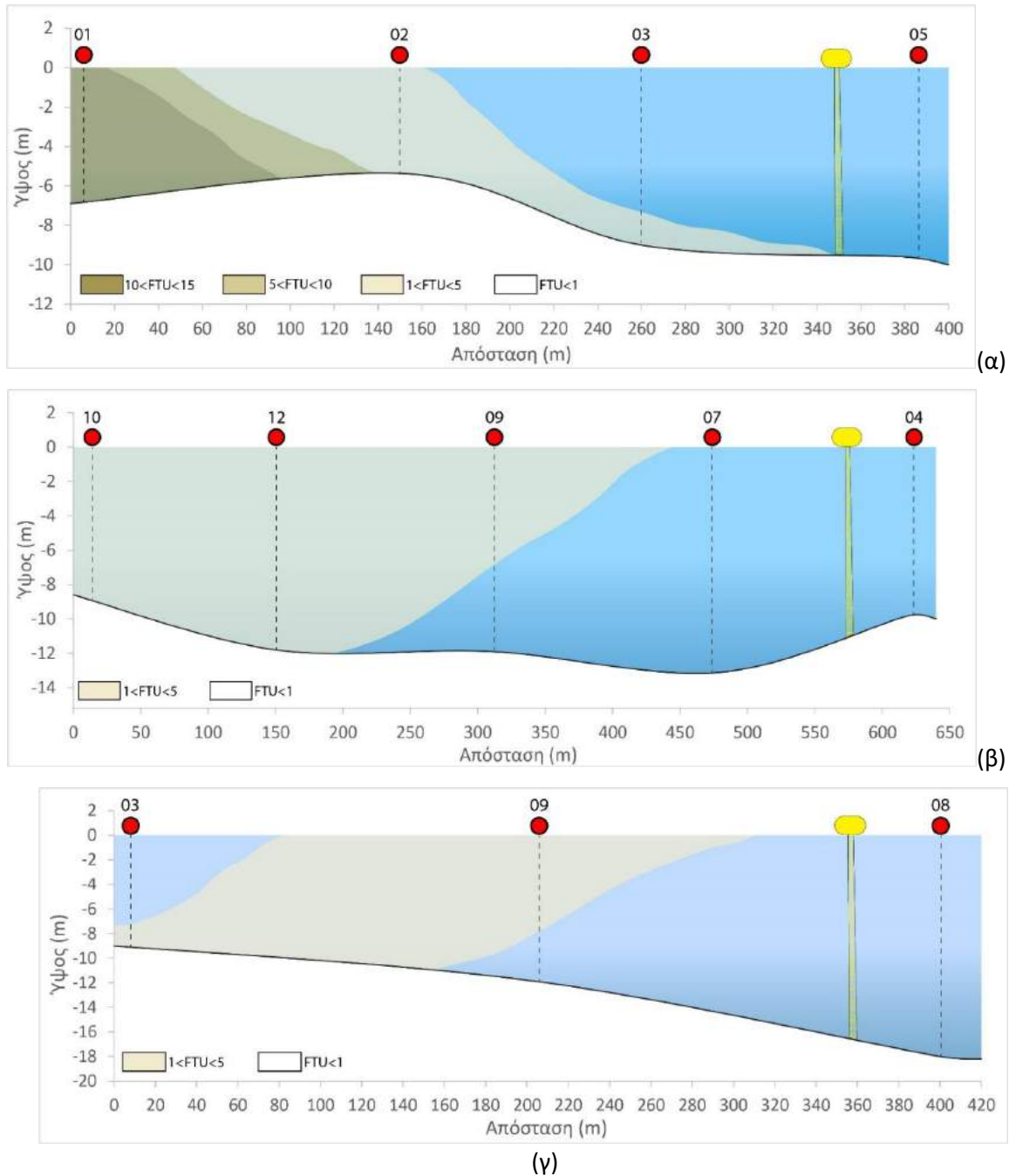
Εντός της λιμενολεκάνης της Μαρίνας Βουλιαγμένης, στη θέση 01, οι τιμές θολερότητας κυμαίνονταν μεταξύ 9,9 και 15,9 FTU, οι μεγαλύτερες που καταγράφηκαν τη συγκεκριμένη μέρα, λόγω της εντατικής βυθοκόρησης στο νοτιοδυτικό τμήμα αυτής κατά τη διάρκεια της δειγματοληψίας.

Οι τιμές FTU ελαττώνονται προοδευτικά με την απομάκρυνση από τη λιμενολεκάνη και στην είσοδο αυτής (θέση 02), όπου οι εργασίες εκσκαφής στο χερσαίο και το υποθαλάσσιο τμήμα του προσήνεμου μόλου ήταν ταυτόχρονες, η θολερότητα παρουσιάστηκε μειωμένη σε όλη τη στήλη του νερού (1,3 – 2,4 FTU σε βάθος νερού μέχρι 5,5 m). Στη θέση 03, η οποία βρίσκεται βορειοδυτικά του σημείου ενεργούς εκσκαφής/βυθοκόρησης, η θολερότητα είναι μικρότερη (0,7 – 1,2 FTU σε βάθος έως 7,6 m), ενώ αυξάνεται ελαφρά στο πυθμενικό στρώμα (βάθος νερού 7,6 – 9,0), με τιμές 1,5 – 3,0 FTU.

Οι τιμές FTU στις θέσεις 04, 05 και 06 που βρίσκονται έξω από την κουρτίνα ιλύος στο βόρειο τμήμα, καθώς και οι θέσεις 07 και 08 στο ανατολικό τμήμα, είναι σε όλη τη στήλη του νερού, σχεδόν στο σύνολό τους μικρότερες του 1. Οι ελάχιστες αυτές τιμές υποδεικνύουν τη σωστή διάταξη τοποθέτησής των κουρτινών, καθώς το αιωρούμενο υλικό δεν εξαπλώνεται έξω από τα όρια της περιοχής εργασιών.

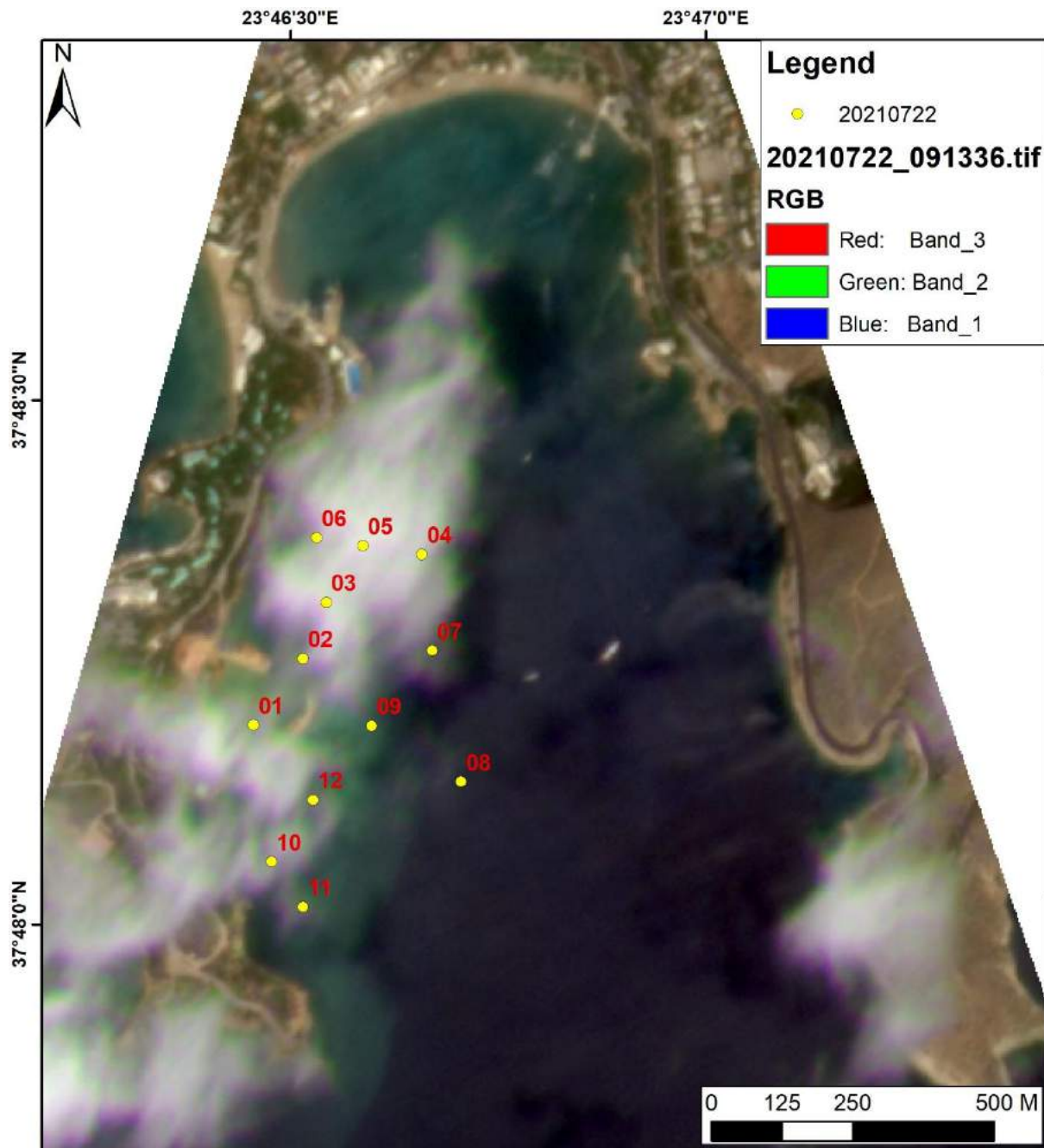


Στις θέσεις 10, 11, 12 και 9, στην ανατολική πλευρά του μόλου παρατηρείται ελαφριά αιώρηση ιζήματος, μικρότερη των 5 FTU, λόγω της εγγύτητας με την ενεργή περιοχή εκσκαφών που γινόταν ταυτόχρονα με τη δειγματοληψία. Το αιωρούμενο υλικό δεν παρατηρείται σε μεγαλύτερες τιμές, καθώς η εργασία που γινόταν αφορούσε καθαίρεση των φυσικών ασύνδετων ογκολίθων και τοποθέτησή αυτών στον παρακείμενο θαλάσσιο χώρο με χρήση πλωτής αρπάγης (δαγκάνας), προκαλώντας περιορισμένη επαναιώρηση ιζημάτων και δημιουργία ήπιου νεφελώματος.



**Εικόνα 6:** Σχηματική αναπαράσταση της διασποράς/διάχυσης του παραγόμενου νεφελώματος από τις εργασίες εκσκαφής/βυθοκόρησης της 22<sup>ας</sup> Ιουλίου 2021. Για τις θέσεις των μετρήσεων βλέπε την Εικόνα 3 .

Γενικά, οι μετρήσεις της θολερότητας έδειξαν ότι η διασπορά/διάχυση του νεφελώματος που παρήχθη από τις εργασίες εκσκαφής/βυθοκόρησης της 22<sup>ας</sup> Ιουλίου 2021 περιορίστηκε εντός των ορίων του τεχνικού έργου. Σημαντικό ρόλο στη συγκράτηση των αιωρημάτων παίζει η εγκατάσταση προστατευτικών κουρτινών ιλύος (silt curtains) στο τμήμα εισόδου/εξόδου της μαρίνας, καθώς και ανατολικά αυτής.



**Εικόνα 7:** Δορυφορική εικόνα της περιοχής του έργου της Μαρίνας Βουλιαγμένης, με τα όρια διασποράς/διάχυσης του επιφανειακού νεφελοειδούς στρώματος (πλουμίου), το οποίο προέκυψε από τις εργασίες βυθοκόρησης της 22<sup>ας</sup> Ιουλίου 2021 (12:13 ώρα Ελλάδος). Η εικόνα καλύπτεται μερικώς από σύννεφα.

Επιπρόσθετα, από τη δορυφορική εικόνα που ελήφθη κατά τη διάρκεια των εργασιών εκβάθυνσης της 22<sup>ας</sup> Ιουλίου 2021 (12:13 ώρα Ελλάδος) επιβεβαιώνεται ότι το επιφανειακό πλούμιο των επαναιωρούμενων ιζημάτων περιορίζεται εντός των ορίων του τεχνικού έργου και δεν διασκορπίζεται/διαχέεται στην ευρύτερη περιοχή του Όρμου Βουλιαγμένης (Εικόνα 7).

## Συμπεράσματα

Η θολερότητα που προέκυψε στην υδάτινη στήλη από τις εργασίες βυθοκόρησης στη Μαρίνα Βουλιαγμένης κατά την 22<sup>α</sup> Ιουλίου 2021 παρουσιάστηκε σχετικά αυξημένη εντός της λιμενολεκάνης και στη είσοδο αυτής. Ωστόσο, οι τιμές αυτές είναι πολύ μικρότερες των 30 FTU (δεν ξεπερνούν τα 15 FTU) και εντοπίζονται σε περιοχή που προβλέπεται να τροποποιηθεί κατά τη διάρκεια του έργου. Επομένως, δεν αναμένεται να επηρεάσει αρνητικά το ποιοτικά φτωχό οικοσύστημα της λιμενολεκάνης.

Σε απόσταση 50-100 m από τα σημεία των ενεργών θέσεων εκσκαφής/βυθοκόρησης («κοντινά πεδία»), η θολερότητα δημιουργεί συνθήκες που χαρακτηρίζονται από «φυσιολογικές» έως «ικανοποιητικές» για τους θαλάσσιους οργανισμούς.

Επισημαίνεται ότι οι τιμές της θολερότητας που μετρήθηκαν στα «μακρινά πεδία», δηλαδή σε περιοχές που βρίσκονται σε απόσταση μεγαλύτερη των 100-150 m από τα σημεία ενεργής βυθοκόρησης, κυμάνθηκαν σε φυσιολογικά επίπεδα (<5 FTU) για παράκτια ύδατα, και θεωρούνται απόλυτα ασφαλείς για το τοπικό θαλάσσιο οικοσύστημα του Όρμου Βουλιαγμένης.

Τέλος, διαπιστώθηκε ότι το παραγόμενο από τις εργασίες βυθοκόρησης νεφέλωμα δεν διαχύθηκε προς το βόρειο και κεντρικό τμήμα του Όρμου Βουλιαγμένης, λόγω της παρουσίας των προστατευτικών κουρτινών ύψους. Οι τιμές θολερότητας στις περιοχές εκτός των ορίων του έργου (θέσεις δειγματοληψίας 04, 05, 06 07 και 08) κυμαίνονταν από 0,3 έως 1,4 FTU, με την κατάσταση του ύδατος να χαρακτηρίζεται από «εξαιρετική» έως «φυσιολογική».

## Βιβλιογραφία

- Bundgaard, K. (2020). Assessing and evaluating environmental turbidity limits for dredging. *Terra et Aqua*, 159, 27-42.
- Capello, M., Cutroneo, L., Ferranti, M. P., Budillon, G., Bertolotto, R. M., Ciappa, A., ... Tucci, S. (2014). Simulations of dredged sediment spreading on a *Posidonia oceanica* meadow off the Ligurian coast, Northwestern Mediterranean. *Marine pollution bulletin*, 79(1-2), 196-204.
- Clarke, D., Wilber, D. (2008). Compliance monitoring of dredging-induced turbidity: defective designs and potential solutions. In proceedings of the *Western Dredging Association 28th technical conference* (pp. 129-142).
- Houngnandan, F., Kéfi, S., Deter, J. (2020). Identifying key-conservation areas for *Posidonia oceanica* seagrass beds. *Biological Conservation*, 247, 108546.
- Kanellopoulos, T.D., Panagiotopoulos, I.P., Karageorgis, A.P., Kikaki, A., Morfis, I., Hatiris, G.A., Kapsimalis, V. (2020). Assessment of the physical impact of a short-term dredging operation on a semi-enclosed environment: South Euboean Gulf, Greece. *Environmental Monitoring and Assessment*, 192(1), 1-20.
- Li, C., Zhang, Y. H., Wu, X. X., Jiang, Y. S., Li, W. T., Zhang, P. D. (2021). Changes in survival and growth in response to different combinations of turbidity and duration in eelgrass *Zostera marina* plants. *Estuarine, Coastal and Shelf Science*, 249, 107108.
- Luger, S.A., Schoonees, J.S., Mocke, G.P., Smit, F. (1998). Predicting and evaluating turbidity caused by dredging in the environmentally sensitive Saldanha Bay. In Proceedings of the *26th International Conference on Coastal Engineering*, Copenhagen, Denmark (Vol. 3, pp. 3561-3574). Reston: American Society of Civil engineers.
- McCaffrey, S., Catchment, N. (2018). Water Quality Parameters and Indicators. Waterwatch, New South Wales.
- Ruiz, J. M., Romero, J. (2003). Effects of disturbances caused by coastal constructions on spatial structure, growth dynamics and photosynthesis of the seagrass *Posidonia oceanica*. *Marine pollution bulletin*, 46(12), 1523-1533.
- van Rijn, L.C. (2019). Turbidity due to dredging and dumping of sediments. <https://www.leovanrijnsediment.com/papers/Turbiditydredging2020.pdf>

**ΠΑΡΑΡΤΗΜΑ**

01		02		03		04		05		06	
depth (m)	FTU	depth (m)	FTU	depth (m)	FTU	depth (m)	FTU	depth (m)	FTU	depth (m)	FTU
1.399	9.951	1.665	1.313	0.956	1.007	1.31	0.745	0.778	1.117	0.956	1.074
1.487	10.556	1.665	2.295	1.133	0.842	1.399	0.812	0.867	1.038	1.133	1.007
1.399	10.482	1.665	2.186	1.222	0.159	1.487	0.812	0.956	1.038	1.222	1.117
1.399	10.427	1.665	2.118	1.487	0.684	1.487	0.812	1.044	1.252	1.31	1.074
1.487	10.702	1.665	2.192	1.753	1.026	1.487	0.806	1.044	1.013	1.31	1.123
1.399	10.641	1.665	2.094	2.019	1.044	1.487	0.788	1.31	0.971	1.487	1.062
1.487	10.83	1.665	2.131	2.108	1.044	1.399	0.842	1.487	1.001	1.487	0.983
1.399	10.83	1.665	2.192	2.462	0.995	1.487	0.781	1.753	0.977	1.487	0.958
1.487	10.464	1.753	2.216	2.551	1.081	1.487	0.781	1.842	0.94	1.576	0.928
1.487	10.403	1.665	2.149	2.64	1.068	1.487	0.775	1.931	0.952	1.665	0.958
1.487	10.238	1.753	2.283	2.906	1.038	1.753	0.763	1.931	0.922	1.753	0.989
1.487	10.739	1.665	2.302	3.171	1.026	1.576	0.806	2.108	0.904	1.842	0.977
1.399	10.085	1.665	2.222	3.437	0.958	1.576	0.788	2.285	0.916	2.019	0.965
1.487	10.104	1.665	2.259	3.615	1.013	1.576	0.751	2.374	0.934	2.108	0.977
1.487	10.507	1.753	2.192	3.88	0.983	1.487	0.788	2.64	0.891	2.108	0.94
1.487	10.501	1.665	2.143	4.146	1.001	1.576	0.781	2.906	0.916	2.374	1.111
1.399	10.556	1.665	2.32	4.589	0.952	1.487	0.794	3.083	0.873	2.64	0.952
1.487	10.739	1.665	2.32	4.767	0.934	1.487	0.83	3.349	0.897	2.994	0.971
1.487	10.116	1.665	2.247	5.121	0.983	1.487	0.775	3.615	0.965	3.349	0.946
1.487	10.476	1.665	2.375	5.387	1.074	1.576	0.83	3.88	0.922	3.615	0.952
1.487	10.287	1.842	1.667	5.564	0.965	1.576	0.788	4.058	0.904	3.969	0.928
1.487	10.122	2.019	1.642	5.742	0.934	1.487	0.8	4.146	0.91	4.324	0.934
1.399	10.287	2.197	1.642	5.919	1.001	1.576	0.83	4.412	0.879	4.501	0.965
1.487	10.201	2.285	1.612	6.096	1.056	1.576	0.824	4.589	0.934	4.589	0.958
1.487	10.11	2.462	1.593	6.096	0.995	1.576	0.806	5.121	0.873	4.678	0.922
1.487	10.049	2.64	1.758	6.274	1.007	1.576	0.775	5.21	0.94	4.589	0.952
1.487	10.14	2.817	1.758	6.539	0.946	1.576	0.8	5.476	0.971	4.589	0.958
1.487	9.908	2.906	1.728	6.717	0.965	1.576	0.806	5.653	0.849	4.767	0.965
1.487	9.725	3.083	1.722	6.983	0.965	1.576	0.806	5.919	0.897	4.855	0.971
1.399	10.043	3.349	1.538	7.16	1.056	1.576	0.812	6.185	0.989	5.121	0.977
1.487	10.055	3.526	1.746	7.249	1.062	1.576	0.861	6.451	0.958	5.387	0.928
1.487	10.116	3.615	1.844	7.426	1.166	1.576	0.788	6.628	0.995	5.742	0.971
1.399	9.841	3.703	1.636	7.603	1.197	1.576	0.745	6.894	0.958	6.008	0.91
1.487	9.963	3.88	1.575	7.692	1.484	1.487	0.806	7.071	0.946	6.274	0.916
1.399	10.153	4.058	1.508	7.869	2.277	1.487	1.416	7.16	0.983	6.628	1.068
1.399	10.513	4.235	1.618	8.224	2.186	1.576	0.788	7.337	0.965	6.983	0.922
1.399	10.433	4.324	1.624	8.224	2.277	1.399	0.812	7.692	1.032	7.249	1.093
1.487	10.513	4.589	1.502	8.224	2.442	1.487	0.8	7.958	1.038	7.603	1.099
1.399	10.427	4.855	1.612	8.401	2.454	1.487	0.781	8.135	1.203	7.869	1.197
1.399	10.311	4.855	1.6	8.578	2.369	1.487	0.812	8.401	1.117	7.869	1.197
1.399	10.049	5.033	1.642	8.755	2.418	1.487	0.885	8.667	1.209	7.958	1.16
1.487	10.36	5.21	1.538	8.844	2.509	1.487	0.769	8.844	1.337	7.869	1.252
1.399	10.311	5.387	1.673	8.933	2.772	1.576	0.836	8.933	1.404	7.869	1.227
1.399	10.201	5.387	1.709	8.933	2.729	1.576	0.769	9.11	1.496	7.958	1.184
1.487	10.232	5.387	1.63	8.933	2.57	1.399	0.806	9.464	1.343	7.958	1.166
1.487	10.281	5.387	1.819	8.933	2.741	1.576	0.769	9.553	1.386	8.046	1.374
1.399	10.519	5.387	1.825	8.933	2.985	1.576	0.788	9.553	1.441	8.046	1.374
1.487	10.409	5.387	1.807	8.844	2.637	1.576	0.763	9.553	1.429	8.046	1.349
1.487	10.397	5.387	1.844	8.933	2.558	1.576	0.781	9.553	1.508	8.046	1.361
1.399	10.232	5.387	1.783	8.933	3.211	1.576	0.733	9.553	1.361	8.135	1.349
1.399	10.092	5.387	1.783	9.021	2.711	1.576	0.788	9.464	1.398		
1.399	10.147	5.387	1.972	8.933	2.79	1.487	0.824	9.553	1.435		
1.487	10.476	5.299	1.966	9.021	3.016	1.399	0.763				
1.399	10.122	5.387	1.813			1.487	0.775				
1.399	10.049					1.31	0.769				
1.399	10.568					1.222	0.72				



1.399	10.427
1.399	11.166
1.487	10.415
1.399	10.69
1.399	10.794
1.31	10.891
1.665	10.72
1.31	10.702
1.399	10.897
1.399	11.032
1.399	10.8
1.487	10.781
1.487	11.123
1.399	11.056
1.399	11.422
1.399	10.849
1.399	10.983
1.31	11.337
1.222	10.977
1.222	10.946
1.133	11.172
1.133	10.849
1.133	10.946
1.133	11.209
1.222	11.026
1.222	10.879
1.222	11.197
1.222	11.038
1.222	10.952
1.222	10.873
1.222	10.879
1.222	10.83
1.222	11.05
1.222	11.032
1.222	11.087
1.222	11.441
1.31	10.598
1.399	10.763
1.399	10.995
1.665	10.647
1.753	10.781
1.931	11.184
1.931	10.928
1.931	10.91
1.931	10.873
2.019	10.934
2.019	11.105
2.108	11.233
2.197	11.105
2.285	11.239
2.462	11.484
2.551	11.306
2.64	11.123
2.64	11.325
2.728	11.447
2.906	11.343
2.994	11.081
2.994	10.977
3.171	11.172
3.26	11.123
3.26	11.252

1.133	0.763
1.133	0.836
1.044	0.824
1.044	0.83
1.133	0.812
1.133	0.849
1.222	0.745
1.31	0.788
1.399	0.726
1.576	0.733
1.753	0.72
1.931	0.733
2.019	0.745
2.108	0.72
2.197	0.739
2.374	0.873
2.64	0.739
2.728	0.781
2.906	0.757
2.994	0.751
3.083	0.8
3.26	0.781
3.526	0.745
3.526	0.751
3.615	0.757
3.615	0.733
3.88	0.781
4.146	0.763
4.412	0.763
4.589	0.733
4.678	0.788
4.767	0.763
4.944	0.775
5.21	0.745
5.476	0.757
5.564	0.763
5.83	0.775
6.096	0.763
6.274	0.775
6.539	0.769
6.894	0.708
7.071	0.769
7.071	0.757
7.514	0.775
7.78	0.842
8.046	0.714
8.312	0.641
8.401	0.708
8.578	0.714
8.755	0.702
9.021	0.696
9.199	0.641
9.376	0.665
9.553	0.696
9.73	0.641
9.73	0.604
9.73	0.635
9.73	0.69
9.819	0.665
9.73	0.641
9.73	0.611

3.349	11.087
3.437	11.459
3.526	11.19
3.526	11.062
3.615	11.325
3.792	10.934
3.88	10.983
3.969	11.087
4.058	10.916
4.146	11.709
4.146	10.904
4.324	11.142
4.324	10.946
4.501	11.313
4.412	11.288
4.678	11.496
4.767	11.129
4.855	11.734
4.944	11.538
4.944	11.612
5.033	11.667
5.21	11.777
5.299	11.545
5.387	11.935
5.476	11.911
5.564	12.002
5.742	12.851
5.919	14.878
6.008	13.712
6.096	13.394
6.274	13.999
6.274	14.695
6.451	14.426
6.539	14.182
6.805	15.372
6.805	15.653
6.805	15.385
6.894	14.994
6.805	15.897
6.894	14.921

9.819	0.745
9.73	0.659
9.819	0.672

07		08		09		010		011		012	
depth (m)	FTU	depth (m)	FTU	depth (m)	FTU	depth (m)	FTU	depth (m)	FTU	depth (m)	FTU
0.778	0.708	0.956	0.543	0.956	3.938	0.956	2.167	1.133	3.205	0.956	2.387
0.956	0.824	1.044	0.549	1.133	3.999	1.044	2.149	1.222	3.266	1.044	2.302
1.044	0.873	1.222	0.537	1.133	3.822	1.222	2.259	1.222	3.181	1.133	2.222
1.133	0.904	1.222	0.586	1.222	2.894	1.31	2.216	1.222	3.315	1.133	2.314
1.222	0.867	1.399	0.549	1.31	3.748	1.31	2.161	1.31	3.132	1.133	2.216
1.133	0.849	1.399	0.556	1.487	3.626	1.399	2.167	1.399	3.053	1.222	2.326
1.133	0.849	1.487	0.733	1.665	3.443	1.487	2.186	1.399	3.181	1.399	2.283
1.31	0.91	1.576	0.488	1.931	3.474	1.753	2.173	1.487	3.187	1.576	2.271
1.399	0.824	1.842	0.574	2.108	3.425	2.019	2.076	1.487	3.126	1.665	2.357
1.487	0.824	2.108	0.543	2.197	3.462	2.197	2.021	1.753	3.089	1.665	2.289
1.665	0.861	2.374	0.531	2.285	3.455	2.285	2.192	1.842	3.107	1.842	2.32
1.842	0.8	2.551	0.537	2.374	3.4	2.551	2.057	2.019	3.193	1.931	2.35
2.019	0.818	2.728	0.537	2.551	3.681	2.728	2.021	2.197	3.04	2.108	2.35
2.197	0.849	2.906	0.556	2.817	3.706	2.906	2.063	2.374	3.12	2.374	2.357
2.462	0.897	3.26	0.556	2.906	3.651	3.171	1.99	2.551	3.053	2.551	2.418
2.728	0.885	3.526	0.58	3.083	3.663	3.349	2.149	2.728	2.937	2.728	2.357
2.994	0.818	3.88	0.586	3.26	3.907	3.526	2.192	2.906	3.095	2.906	2.314
3.171	0.836	4.146	0.574	3.437	3.871	3.792	2.326	3.26	3.278	3.26	2.289
3.437	0.958	4.412	0.604	3.526	3.877	3.969	2.717	3.615	3.284	3.615	2.418
3.615	0.879	4.678	0.598	3.792	4.274	4.235	2.607	3.969	3.217	3.88	2.381
3.88	0.867	4.855	0.586	4.146	4.212	4.412	2.643	4.146	3.364	4.235	2.68
3.969	0.818	5.033	0.641	4.235	4.353	4.678	2.698	4.412	3.315	4.589	3.443
4.412	0.873	5.299	0.592	4.501	4.243	4.944	3.022	4.589	3.413	4.855	3.761
4.767	0.897	5.653	0.568	4.767	4.188	5.121	3.095	4.678	3.358	5.121	4.115
4.855	0.836	6.008	0.562	4.944	4.267	5.387	2.943	4.944	3.358	5.476	4.695
5.121	0.849	6.362	0.531	5.121	4.359	5.653	3.284	5.21	3.101	5.653	4.573
5.387	0.879	6.717	0.58	5.387	4.054	5.919	3.254	5.387	3.107	5.919	4.664
5.653	0.879	7.071	0.562	5.742	3.834	6.096	3.382	5.653	2.833	6.274	3.828
5.919	0.91	7.337	0.611	5.919	4.231	6.362	3.571	5.919	2.912	6.628	3.291
6.096	0.897	7.603	0.58	6.185	3.913	6.628	4.109	6.185	2.875	6.983	2.576
6.362	0.91	8.046	0.519	6.451	3.571	6.983	4.072	6.451	2.686	7.249	2.802
6.539	0.946	8.401	0.495	6.628	3.822	7.249	4.048	6.805	3.004	7.514	2.357
6.805	0.952	8.755	0.507	6.805	2.784	7.514	4.048	7.16	2.656	7.78	1.38
7.16	0.885	9.021	0.598	7.071	1.203	7.78	4.011	7.426	2.851	8.135	1.838
7.426	0.885	9.464	0.47	7.249	0.91	8.224	3.388	7.603	2.192	8.401	1.795
7.603	0.867	9.908	0.446	7.514	0.806	8.489	3.932	7.958	2.039	8.844	2.002
7.958	0.714	10.262	0.452	7.78	0.849	8.578	3.449	8.224	2.234	9.199	2.051
8.312	0.629	10.617	0.44	8.224	0.867			8.667	1.703	9.553	2.381
8.667	0.598	11.06	0.562	8.224	0.922			9.021	1.758	9.908	1.862
8.933	0.574	11.503	0.372	8.489	0.8			9.376	1.661	10.262	1.691
9.287	0.476	11.769	0.403	8.667	0.861			9.73	1.575	10.617	1.648
9.553	0.495	12.212	0.385	8.755	0.842			10.085	1.288	10.883	1.709
9.908	0.452	12.656	0.379	8.844	0.885			10.439	1.148	11.415	1.563
10.174	0.47	13.01	0.348	9.11	0.879			10.794	1.099	11.592	1.233
10.528	0.47	13.276	0.293	9.199	0.849			11.06	1.001	11.68	1.386
10.794	0.501	13.631	0.305	9.287	0.94			11.326	0.971	11.68	1.154
10.971	0.501	13.897	0.263	9.464	1.026			11.592	1.013	11.68	1.252
11.237	0.427	14.163	0.342	9.73	0.885			11.769	0.861	11.68	1.41
11.503	0.372	14.694	0.299	9.908	0.928			11.769	0.885	11.68	1.441
11.592	0.421	14.96	0.299	10.085	0.788			11.769	0.885	11.68	1.618
11.858	0.391	15.315	0.299	10.351	0.647			11.769	0.934	11.68	1.673
12.124	0.44	15.492	0.299	10.439	0.836			11.858	0.94	11.68	1.642
12.39	0.372	15.936	0.275	10.528	0.708					11.68	1.441
12.833	0.33	16.201	0.269	10.705	0.684					11.769	1.282
12.833	0.482	16.467	0.275	10.883	1.203						
12.833	0.464	16.733	0.336	10.971	1.148						
12.833	0.324	17.177	0.354	11.149	1.056						
12.744	0.379	17.531	0.348	11.415	0.714						

12.833	0.44	17.797	0.348	11.592	0.757
13.099	0.348	17.886	0.342	11.68	0.769
		17.975	0.379	11.769	0.928
				11.946	0.653